

Эвристические алгоритмы для задачи составления расписаний мультимодальных работ с ресурсными ограничениями

Ю.В. Захарова, М.Ю. Сахно

Омский филиал Института математики им. С.Л. Соболева СО РАН

Исследование выполнено за счет гранта Российского научного
фонда № 22-71-10015-П, <https://rscf.ru/project/22-71-10015-П/>.

Постановка задачи

- ▶ Необходимо составить расписание выполнения множества рас- параллеливаемых работ $\mathcal{J} = \{1, \dots, n\}$ на m ядрах процессора.
- ▶ Имеется два ресурса возобновимого типа – шина данных и опе- ративная память.
- ▶ Каждая работа может выполняться в разных модах.
- ▶ Задан частичный порядок на множестве работ (может быть пустым).
- ▶ Необходимо минимизировать общее время завершения всех ра- бот C_{\max} .

Постановка задачи

- ▶ Для каждой работы $j \in \mathcal{J}$ задан требуемый процент объема оперативной памяти v_j .
- ▶ Для каждой работы $j \in \mathcal{J}$ определено множество возможных мод выполнения $\mathcal{M}_j = \{(size_{ji}, \tilde{b}_{ji}, \tilde{p}_{ji}) \mid i \in I_j\}$, где I_j — множество индексов мод работы j ; $size_{ji}$ — количество ядер, необходимых для выполнения работы j в моде i ; \tilde{b}_{ji} и \tilde{p}_{ji} — процент потребления шины данных и количество единиц времени, необходимые ей для полного выполнения в идеальных условиях в моде i , соответственно.
- ▶ Если при выполнении работы j в выбранной моде i ей выделен меньший процент шины данных, чем \tilde{b}_{ji} , то она пропорционально замедляется.

Алгоритм 1 Правило расчета замедления работ $j \in J$ в конфигурации $c \in C$

Шаг 1: Положим процент свободной шины данных $freePercent := 100\%$, текущее количество ядер, среди которых распределяется шина данных, $coresCount := \sum_{j,i \in c} size_{ji}$ и текущее количество работ $jobsCount$ равно количеству работ в конфигурации c .

Шаг 2: Пока $jobsCount$ не равно 0, выполнять:

2.1: Вычислить процент шины данных, который может быть выделен каждому ядру: $percent := freePercent / coresCount$.

2.2: Если в конфигурации c присутствует такая работа j , для которой $b_j \leq percent * size_j$, положить:

$$z_{jc} := b_j,$$

$$freePercent := freePercent - b_j,$$

$$jobsCount := jobsCount - 1.$$

$$coresCount := coresCount - size_j.$$

2.3: Иначе положить $b_{jc} := percent * size_j$ для каждой оставшейся работы j и $jobsCount := 0$.

Шаг 3: Скорость выполнения каждой работы j в конфигурации c пропорциональна отношению z_{jc}/b_j .

Предыдущие исследования

- ▶ **Мультимодальные параллельные работы** (Drozdownski, 2009).
- ▶ **Быстрые онлайн-эвристики** (Merkel et al., 2010; Zhuravlev et al., 2010). Работы размещаются на ядрах процессора по принципу **комплементарности**, чтобы одновременно выполнялись задачи с максимально разными требованиями к ресурсам.
- ▶ **Расчет замедления**: использование методов **ML** (Zacarias et al., 2019), а также **оффлайн-профилирования** и предсказательных моделей (Fedorova et al., 2007; Snavely et al., 2000; Chandra et al., 2005).
- ▶ **Критерии оптимизации**: минимизация суммарной деградации всех работ (Jiang et al., 2008) или общего времени завершения (*makespan*) (Tian et al., 2012).
- ▶ Подходы, где **ресурсы назначаются ядрам**, а не работам, при условии, что распределение задач по ядрам и их порядок зафиксированы (Althaus et al., 2018).
- ▶ Исследование случаев, когда **допустимы прерывания** и непрерывное перераспределение ресурсов (Shioura et al., 2018).

Нижняя граница

$$LB = \max \left\{ P^{\max}, \frac{\sum_{j \in J} ps_j^{\min}}{m}, \frac{\sum_{j \in J} pv_j^{\min}}{V}, \frac{\sum_{j \in J} pb_j^{\min}}{100} \right\},$$

где $ps_j^{\min} = \min_{i \in I_j} p_{ji} size_{ji}$, $pv_j^{\min} = \min_{i \in I_j} p_{ji} V_j$, $pb_j^{\min} = \min_{i \in I_j} p_{ji} b_{ji}$, $j \in J$, значение P^{\max} это длина критического пути в графе частичного порядка с минимальными длительностями работ среди всех мод.

Приближенные алгоритмы

Без частичного порядка

Для задачи составления расписаний с независимыми одномодальными работами можно построить b -приближенное решение за полиномиальное время.

всегда не менее половины одного из ресурсов:

$$L_r \frac{R}{2} \leq \sum_{j \in J} p_j r_j \leq LB \cdot R.$$

есть интервалы с менее чем половиной всех ресурсов:

$$r' \cdot \Delta + (R - r' + 1) \cdot L'_r \leq LB \cdot R.$$

Приближенные алгоритмы

С частичным порядком

Для задачи составления расписаний одномодалых работ, связанных произвольным частичным порядком, можно построить $\left(\frac{6-3q}{1-q}\right)$ -приближенное решение за полиномиальное время, где $q \in (0, 1)$ такое, что $size_j \leq qm$, $v_j \leq qV$, $b_j \leq 100q$ for $j \in J$.

декомпозиция на интервалы двух типов:

$$L_\sigma = L_1 + L_2.$$

интервалы по частичному порядку:

$$LB \geq \sum_{l=1}^k p_{j_l} = L_1.$$

интервалы по дефициту ресурсов:

$$L_2 = L_{2m} + L_{2V} + L_{2b}.$$

$$L_1 + ((1 - q)R + 1) L_{2r} \leq \sum_{j \in J} p_j r_j \leq LB.$$

Алгоритм 2 Жадный алгоритм GR (идея из [Eremeev & Sakhno, 2020])

Пока присутствуют незавершенные работы, повторять:

1: Выбрать допустимую конфигурацию работ для выполнения.

2: Вычислить скорости выполнения работ в выбранной конфигурации.

3: Определить, какая из работ завершится первой.

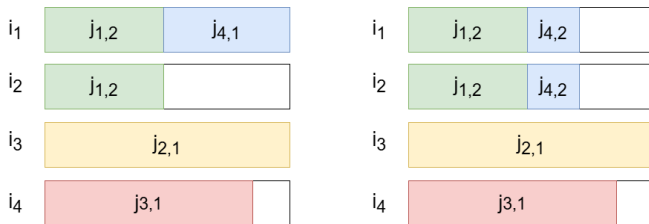


Рис.: Выбор моды для работы

Используемые операторы мутации



В качестве оператора мутации использовались операторы k -сдвига (k -shift) и k -обмена (k -exchange), $k = 1, 2, 4$.

Схемы применения мутации: классическая, тяжелые хвосты (heavy-tailed), перемешивающая (scramble) с распределением Пуассона.

Эволюционная стратегия (1+1)-ES

Алгоритм 3 (1+1)-ES (ES)

- 1:** Сгенерировать начальную перестановку π .
 - 2:** Пока не выполнено условие остановки, повторять:
 - 2.1:** Построить $\pi' = Mut(\pi)$.
 - 2.2:** Если π' по целевой функции лучше π , то $\pi = \pi'$.
 - 3:** Вернуть π .
-

Целевая функция рассчитывается как в жадном, но по перестановке.

(1+1)-ES с адаптивной схемой

Алгоритм 4 (1+1)-ES адаптивный (ESA)

- 1:** Сгенерировать начальную перестановку π .
- 2:** Пока не выполнено условие остановки, повторять:
 - 2.1:** Выбрать оператор мутации mut .
 - 2.2:** Построить $\pi' = mut(\pi)$.
 - 2.3:** Если π' по целевой функции лучше π , то $\pi = \pi'$.
 - 2.4:** Пересчитать вес оператора mut как $R_{mut} = \lambda r_{mut} + (1 - \lambda)R_{mut}$, где

$$r_{mut} = \begin{cases} 1, & \text{если получено лучшее решение,} \\ 0.3 & \text{иначе.} \end{cases}$$

- 3:** Вернуть π .
-

(1+1)-ES с переменными окрестностями

Алгоритм 5 (1+1)-ES с переменными окрестностями (ESVO)

- 1:** Сгенерировать начальную перестановку π .
 - 2:** Пока не выполнено глобальное условие остановки, повторять:
 - 2.1:** Выбрать следующий оператор мутации mut .
 - 2.2:** Пока не выполнено локальное условие остановки, повторять:
 - 2.2.1:** Построить $\pi' = mut(\pi)$.
 - 2.2.2:** Если π' по целевой функции лучше π , то $\pi = \pi'$.
 - 3:** Вернуть π .
-

Генетический алгоритм

Алгоритм 6 Генетический алгоритм (GA)

1: Создать начальную популяцию из k особей. Сохранить лучшие n_{elites} особей в качестве элиты на основе значений их целевой функции.

2: Пока не выполнено условие остановки, повторять:

2.1: Выбрать особей из текущей популяции в качестве родителей.

2.2: Применить мутацию и рекомбинацию к выбранным особям.

2.3: Сгенерировать потомство.

2.4: Обновить основную популяцию и группу элиты.

3: Вернуть лучшую особь, найденную в процессе работы.

Теорема

Предложенные эволюционные алгоритмы сходятся к оптимальному решению почти наверное при стремлении числа итераций к бесконечности.

Комментарий

1. При выборе очередной работы с вероятностью ϵ выбирается фиктивная работа (с нулевым потреблением ресурсов), а с вероятностью $1 - \epsilon$ выбирается следующая работа из перестановки.
2. При выборе моды с вероятностью δ выбирается случайная мода, с вероятностью $1 - \delta$ выбирается лучшая мода.

Генерация тестовых примеров

Каждая работа j описывается параметрами $v_j, size_j, p_j, b_j$:

x	I_1^x	I_2^x	I_3^x
Объем (V)	[0, 10)	[10, 20)	[20, 35)
Ядра ($SIZE$)	{1}	{2}	{4}
Длительность (P)	[2, 10)	[10, 25)	[25, 50)
Шина (B)	[0, 30)	[30, 80)	[80, 100)

Алгоритм генерации:

1. Выбор класса $\mathcal{K} \in \{\text{Small, Medium, Big}\}$ по распределению $\mathbf{P}_{series} = (p_S, p_M, p_B)$.
2. Каждый параметр x для работы выбирается равномерно из интервала I_i^x . Индекс i выбирается с вероятностью α_i , определенной классом работы: $\mathbf{W}_{\mathcal{K}} = (\alpha_1, \alpha_2, \alpha_3)$.
 - ▶ $\mathbf{W}_{\text{Small}} = (0.7, 0.2, 0.1)$;
 - ▶ $\mathbf{W}_{\text{Medium}} = (0.15, 0.7, 0.15)$;
 - ▶ $\mathbf{W}_{\text{Big}} = (0.1, 0.2, 0.7)$

Типы серий (по 30 примеров в каждой):

- ▶ **STD** (Standard): использование весовых векторов $\mathbf{W}_{\mathcal{K}}$.
- ▶ **RND** (Random): равномерное распределение для классов и параметров.
- ▶ **INV** (Inverse): инвертированные интервалы для длительности P ($I_1^P \leftrightarrow I_3^P$).

Результаты эксперимента: одномодальные серии

Серии				Алгоритмы					
Тип	p_S	p_M	p_B	GR	ES	ESA	ESVO	GA	LB
<i>STD</i>	0.7	0.2	0.1	6.25	1.25	1.14	0.64	0.16*	53.43
<i>STD</i>	0.1	0.2	0.7	3.1	0.61	0.29	0.22	0.11	74.68
<i>STD</i>	0.33	0.33	0.34	4.15	0.51	0.28	0.22	0.16	67.65
<i>STD</i>	0.15	0.7	0.15	3.86	0.51	0.21	0.23	0.13	57.1
<i>STD</i>	0.5	0.0	0.5	4.55	1.04	0.45	0.53	0.21	65.58
<i>STD</i>	0.3	0.0	0.7	3.6	0.49	0.26	0.32	0.08*	72.65
<i>STD</i>	0.7	0.0	0.3	5.8	1.09	0.44	0.41	0.16*	61.21
<i>RND</i>	-	-	-	4.9	0.59	0.34	0.31	0.1*	86.46
<i>INV</i>	0.7	0.2	0.1	8.71	2.12	1.58	1.62	0.06*	33.04
<i>INV</i>	0.1	0.2	0.7	4.17	0.69	0.73	0.85	0.19	70.88
<i>INV</i>	0.3	0.0	0.7	6.81	3.03	1.2	0.91	0.22*	52.35
<i>INV</i>	0.7	0.0	0.3	10.73	1.73	1.27	1.3	0.02*	36.44

Таблица: Среднее относительное отклонение от лучшего известного рекорда по каждому примеру для $n = 100$ в одномодальных сериях, %.

Результаты эксперимента: одномодальные серии и частичным порядком

Серии					Алгоритмы					
Тип	Порядок	p_S	p_M	p_B	GR	ES	ESA	ESVO	GA	LB
<i>STD</i>	rand	0.33	0.33	0.34	16.77	2.33	0.58	0.47	0.11*	190.11
<i>RND</i>	rand	-	-	-	13.73	1.98	0.45	0.67	0.08*	352.3
<i>INV</i>	rand	0.7	0.0	0.3	8.08	0.7	0.23	0.09	0.04*	179.15
<i>STD</i>	bitree	0.33	0.33	0.34	18.72	2.26	1.01	0.73	0.12*	92.53
<i>RND</i>	bitree	-	-	-	19.41	2.5	0.71	0.94	0.12*	140.22
<i>INV</i>	bitree	0.7	0.0	0.3	9.68	1.19	0.46	0.38	0.06*	97.03

Таблица: Среднее относительное отклонение от лучшего известного рекорда по каждому примеру для $n = 100$ в одномодальных сериях с частичным порядком, %.

Результаты эксперимента: мультимодальные серии

Серии				Алгоритмы					
Тип	p_S	p_M	p_B	GR	ES	ESA	ESVO	GA	LB
<i>STD</i>	0.7	0.2	0.1	6.76	1.63	0.62	0.5	0.47	53.95
<i>STD</i>	0.1	0.2	0.7	3.06	0.5	0.24	0.21	0.2	74.89
<i>STD</i>	0.33	0.33	0.34	4.38	0.61	0.19	0.29	0.32	67.81
<i>STD</i>	0.15	0.7	0.15	4.52	0.65	0.29	0.17	0.2	57.25
<i>STD</i>	0.5	0.0	0.5	5.83	0.95	0.39	0.44	0.21	65.94
<i>STD</i>	0.3	0.0	0.7	3.68	0.62	0.28	0.22	0.21	72.81
<i>STD</i>	0.7	0.0	0.3	8.01	1.06	0.68	0.52	0.28	61.14
<i>RND</i>	-	-	-	5.57	0.52	0.29	0.22	0.23	86.58
<i>INV</i>	0.7	0.2	0.1	10.32	1.63	1.07	1.15	0.13*	34.3
<i>INV</i>	0.1	0.2	0.7	4.97	1.23	0.78	0.35	0.32	71.09
<i>INV</i>	0.3	0.0	0.7	9.78	3.3	0.73	1.17	0.61*	53.08
<i>INV</i>	0.7	0.0	0.3	12.91	1.64	1.06	0.94	0.08*	36.99

Таблица: Среднее относительное отклонение от лучшего известного рекорда по каждому примеру для $n = 100$ в мультимодальных сериях, %.

Результаты эксперимента: мультимодальные серии и частичным порядком

Серии					Алгоритмы					
Тип	Порядок	p_S	p_M	p_B	GR	ES	ESA	ESVO	GA	LB
<i>STD</i>	rand	0.33	0.33	0.34	16.27	2.18	0.47	0.44	0.16	189.37
<i>RND</i>	rand	-	-	-	14.35	2.27	0.52	0.38	0.14*	352.04
<i>INV</i>	rand	0.7	0.0	0.3	8.49	1.15	0.39	0.28	0.04*	178.13
<i>STD</i>	bitree	0.33	0.33	0.34	20.01	2.49	0.65	0.86	0.07*	92.46
<i>RND</i>	bitree	-	-	-	20.72	2.92	1.19	0.98	0.17*	141.05
<i>INV</i>	bitree	0.7	0.0	0.3	12.77	0.96	0.43	0.42	0.07*	95.88

Таблица: Среднее относительное отклонение от лучшего известного рекорда по каждому примеру для $n = 100$ в мультимодальных сериях с частичным порядком, %.

Результаты эксперимента: PSPLIB

	GR	ES	ESA	ESVO	GA
$n = 60$	206.62	16.17	14.35	14.4	13.5*
$n = 90$	230.42	15.01	13.81	13.83	12.67*
$n = 120$	557.84	42.96	40.59	40.54	37.71*

Таблица: Среднее относительное отклонение от длины критического пути для серий из PSPLIB, %.

Заключение

- ▶ Получены теоретические оценки в одномодальном случае.
- ▶ Предложены жадный алгоритм и метаэвристики для решения задачи в мультимодальном варианте.
- ▶ Лидером на различных сериях примеров чаще всего оказывается генетический алгоритм.

Дальнейшие планы

- ▶ Исследовать различные стратегии учета ресурсов в жадном алгоритме.
- ▶ Исследовать различные функции замедления работ.
- ▶ Улучшение теоретических оценок точности алгоритма за счет учета замедления при потреблении шины данных.
- ▶ Добавить учет NUMA-архитектуры.

Спасибо за внимание!